

Центральноукраїнський національний технічний університет

Агротехнічний факультет

Кафедра сільськогосподарського машинобудування

“Допущено до захисту”

зав. кафедрою СГМ

к.т.н., доцент

_____ Сергій ЛЕЩЕНКО

« ____ » _____ 2024 р.

КВАЛІФІКАЦІЙНА РОБОТА
за другим (магістерським) рівнем вищої освіти
на тему:

"Обґрунтування модернізації сівалки Гермес-8 з дослідженням
пневмосистеми"

Виконав здобувач вищої освіти __II__ курсу,
групи ГМ-22М-1.2

ОНП «Галузеве машинобудування»
спеціальності 133 «Галузеве машинобудування»

_____ Салій Єгор Сергійович

« ____ » _____ 2024 р.

Керівник проекту

доцент, канд.техн.наук

_____ Володимир ОНОПА

« ____ » _____ 2024 р.

Рецензент Олексій АЛФЬОРОВ

Центральноукраїнський національний технічний університет

Факультет Агротехнічний

Кафедра Сільськогосподарського машинобудування

Рівень вищої освіти другий (магістерський)

Галузь знань 13 – Механічна інженерія

Спеціальність 133 Галузеве машинобудування

Освітньо-професійна (освітньо-наукова) програма Галузеве машинобудування

ЗАТВЕРДЖУЮ

Завідувач кафедри

_____ Сергій ЛЕЩЕНКО

«___» _____ 2024 року

**ЗАВДАННЯ НА ВИПУСКНУ КВАЛІФІКАЦІЙНУ РОБОТУ ЗА
ДРУГИМ (МАГІСТЕРСЬКИМ) РІВНЕМ ВИЩОЇ ОСВІТИ ЗДОБУВАЧА
ВИЩОЇ ОСВІТИ**

_____ Салія Єгора Сергійовича

(прізвище, ім'я, по батькові)

1. Тема роботи (проекту)

Обґрунтування модернізації сівалки Гермес–8 з дослідженням пневмосистеми

2. Керівник роботи (проекту)

_____ Онопа Володимир Анатолійович, канд. техн. наук, доцент

(прізвище, ім'я, по батькові, науковий ступінь, вчене звання)

3. Строк подання роботи до захисту 25.05.2024 р.

4. Мета та завдання випускної кваліфікаційної роботи (проекту) _____

Підвищення ефективності роботи сівалки Гермес–8

5. Консультанти по роботі, із зазначенням розділів роботи

Розділ	Консультант	Підпис, дата	
		Завдання видав	Завдання прийняв
1–5	Онопа В.А.		

КАЛЕНДАРНИЙ ПЛАН

№ з/п	Назва етапів випускної кваліфікаційної роботи	Строк виконання етапів роботи	Примітка
1	Пояснювальна записка	10.05.2024 р.	
2	Графічна частина	10.05.2024 р.	
3	Захист роботи	25.05.2024 р.	

Дата видачі завдання
« 29 » січня 2024 р.

Підпис керівника

_____ Онопа В.А.
(прізвище та ініціали)

Завдання прийнято до виконання
« 29 » січня 2024 р.

Підпис здобувача _____ Салій Є.С.
(прізвище та ініціали)

№ строки	Формат	Обозначение	Наименование	Кол. листов	№ экз.	Примечание																														
1																																				
2			<u>Документація загальна</u>																																	
3																																				
4			<u>Заново розроблена</u>																																	
5																																				
6	A4	УСГ 00. 000 ПЗ	Пояснювальна записка	41																																
7																																				
8			<u>Документація</u>																																	
9			<u>з наукової частини</u>																																	
10																																				
11			<u>Заново розроблена</u>																																	
12																																				
13	A1	УСГ 00. 001 НЧ	Сучасний станг машин	1																																
14	A1	УСГ 00. 002 НЧ	Мета, задачі, об'єкт та предмет досліджень	1																																
15																																				
16	A1	УСГ 00. 003 НЧ	Теоретині дослідження системи з ресивером	1																																
17																																				
18																																				
19			<u>Документація</u>																																	
20			<u>по складальних одиницях</u>																																	
21																																				
22			<u>Заново розроблена</u>																																	
23																																				
24	*	ПНД 02. 000 СБ	Фреза	1		*A2x3																														
<table border="1" style="width: 100%; border-collapse: collapse;"> <tr> <td colspan="5" style="text-align: center;">УСГ 00. 000 ВП</td> </tr> <tr> <td>Изм.</td> <td>Лист</td> <td>№ док.м.</td> <td>Подп.</td> <td>Дата</td> </tr> <tr> <td>Разраб.</td> <td>Саліу</td> <td></td> <td></td> <td></td> </tr> <tr> <td>Проб.</td> <td>Онопа</td> <td></td> <td></td> <td></td> </tr> <tr> <td>Н.контр.</td> <td>Мачок</td> <td></td> <td></td> <td></td> </tr> <tr> <td>Утв.</td> <td>Лещенко</td> <td></td> <td></td> <td></td> </tr> </table>							УСГ 00. 000 ВП					Изм.	Лист	№ док.м.	Подп.	Дата	Разраб.	Саліу				Проб.	Онопа				Н.контр.	Мачок				Утв.	Лещенко			
УСГ 00. 000 ВП																																				
Изм.	Лист	№ док.м.	Подп.	Дата																																
Разраб.	Саліу																																			
Проб.	Онопа																																			
Н.контр.	Мачок																																			
Утв.	Лещенко																																			
Відомість кваліфікаційної роботи				Лист	Лист	Листов																														
					1	2																														
				ЦНТУ гр. ГМ-22М(19)-12																																

№ строки	Формат	Обозначение	Наименование	Кол. листов	№ экз.	Примечание
1						
2			<i>Документація по деталях</i>			
3						
4			<i>Заново розроблена</i>			
5						
6	A4	<i>ПНД 02. 010. 401</i>	<i>Ніж</i>	1		
7	A4	<i>ПНД 02. 020. 407</i>	<i>Лопатка</i>	1		
8	A3	<i>ПНД 02. 010. 309</i>	<i>Стояк</i>	1		
9						
10						
11						
12						
13						
14						
15						
16						
17						
18						
19						
20						
21						
22						
23						
24						
25						
26						
27						
28						
29						

Инв. № подл.	Подп. и дата	Взам. инв. №	Инв. № дубл.	Подп. и дата	<i>УСГ 00. 000 ВП</i>				Лист
									2
Изм.	Лист	№ докум.	Подп.	Дата					

ВСТУП

Сільське господарство залишається стратегічною галуззю економіки майже всіх країн світу. На це не можуть вплинути інші галузі економіки, що за об'ємами випущеної продукції в грошовому еквіваленті займають вищі місця. Стратегічність аграрного виробництва полягає в забезпеченні продовольчої безпеки будь-якої країни.

В кожній країні розподіл продукції між тваринництвом та рослинництвом складається по різному. Але встановлено, що люди споживають більше рослинної їжі, а ніж тваринного походження.

Вирощування сільськогосподарських культур виконання певного набору технологічних операцій. Всі види операцій є обов'язковими. Кожен вид має свої типи, які в залежності від конкретних погодних умов застосовуються. Але вирощування всіх культур передбачає посів насіння та збір урожаю.

Для посіву насіння сільськогосподарських культур використовуються сівалки. Вони відрізняються між собою як за призначенням для висіву певного типу насіння, від чого залежить їхні конструкції, але й для різних технологій обробітку ґрунту.

Найбільш поширені сівалки для висіву зернових та просапних культур.

Кожного року збільшується кількість виробників посівної техніки не тільки серед країн, але й в Україні теж. Завдяки конкуренції між виробниками ринок наповнюється новими більш надійними та з більшою продуктивністю машинами.

					<i>УСГ 00. 000 ПЗ</i>				
<i>Зм.</i>	<i>Арк.</i>	<i>№ докум.</i>	<i>Підп.</i>	<i>Дата</i>					
<i>Розроб.</i>	<i>Салій</i>					<i>Літ.</i>	<i>Аркуш</i>	<i>Аркушів</i>	
<i>Перевір.</i>	<i>Онопа</i>						6	41	
					<i>Пояснювальна записка</i>			<i>ЦНТУ, гр. ГМ-22М(1,9)-1.2</i>	
<i>Н.контр.</i>	<i>Мачок</i>								
<i>Затв.</i>	<i>Леценко</i>								



Рис. 2.1. Сівалка VESTA 8



Рис. 2.2. Сівалка VESTA 8 PROFİ



Рис. 2.3. Сівалка VESTA 6

Зм.	Арк.	№ докум.	Підп.	Дата

УСГ 00.000 ПЗ

Арк.

8



Рис. 2.4. Сівалка VEGA 6



Рис. 2.5. Сівалка VEGA 8

Зм.	Арк.	№ докум.	Підп.	Дата

УСГ 00.000 ПЗ

Арк.

9



Рис. 2.6. Сівалка VEGA 16 PROFİ

Фаворит, Україна

Компанія «Фаворит» універсальні сівалки точного висіву сімейств Весна та VENZA [8–13].

На всіх сівалках Весна, як і в розглянутих вище, використовується непряме підключення вакуумних камер висівних апаратів до вентилятора. Між ними встановлено ресивер, що за допомогою трьох повітропроводів з'єднаний з вентилятором (рис. 2.7–2.9) [8–10].



Рис. 2.7. Сівалка Весна–6

Зм.	Арк.	№ докум.	Підп.	Дата

УСГ 00.000 ПЗ

Арк.

10



Рис. 2.8. Сівалка Весна–8



Рис. 2.9. Сівалка Весна–12

Натомість на всіх сівалках VENZA використовується пряме підключення вакуумних камер висівних апаратів до вентилятора за допомогою повітропроводів (рис. 2.10–2.9) [11–13].

Зм.	Арк.	№ докум.	Підп.	Дата

УСГ 00.000 ПЗ

Арк.

11



Рис. 2.10. Сівалка VENZA–6



Рис. 2.11. Сівалка VENZA–8 PRO

Зм.	Арк.	№ докум.	Підп.	Дата

УСГ 00.000 ПЗ

Арк.

12

Тодак, Україна

Пневмосистема сівалки СТВТ–12 ідентична пневматичній системі сівалок VENZA від компанії «Фаворит» [14]. Камери висівних апаратів під'єднані до вентилятора напряду з використанням повітропроводів.



Рис. 2.12. Сівалка СТВТ–12

HARVEST, Україна

Виробник посівної та ґрунтообробної техніки *HARVEST* постачає на вітчизняний ринок посівної техніки універсальні сівалки точного висіву серій HERMES, MULTICORN та SPACE [15–19].

До серії HERMES входять сівалки HERMES–6 та HERMES–8.

Пневматичні системи сівалок серії HERMES складаються з вентилятора, повітряних патрубків, рами–ресивера та повітропроводів (рис. 2.13–2.14) [16–17]. Вакуумні камери висівних апаратів під'єднані до ресивера за допомогою повітропроводів. Вихідні патрубки ресивера розташовані діагонально від центру машини до її країв. Камера ресивера з'єднується з вентилятором трьома повітряними патрубками.

У сівалках серії MULTICORN використовується система прямого підключення вакуумних камер висівних апаратів до вентилятора (рис. 2.15) [18].

Зм.	Арк.	№ докум.	Підп.	Дата



Рис. 2.13. Сівалка HERMES–6



Рис. 2.14. Сівалка HERMES–8



Рис. 2.15. Сівалка MULTICORN 560 (01)

Зм.	Арк.	№ докум.	Підп.	Дата

УСГ 00.000 ПЗ

Арк.

14

Agromaster, Туреччина

Agromaster виробляє великий ряд сівалок точного висіву сімейства PLANTER A та D [21]. Сівалки сімейства A призначені для висіву насіння сільськогосподарських культур за класичної чи мінімальної систем обробітку ґрунту. Сівалки сімейства D використовуються для технологій нульового обробітку чи на важких ґрунтах у сухих кліматичних умовах. На всіх сівалках PLANTER камери висівних апаратів напряму під'єднані до вентиляторів.



Рис. 2.18. Сівалка PLANTER-A8

Väderstad, Швеція

Пневматична система сівалок Tempo V відрізняється від всіх розглянутих раніше [22].



Рис. 2.19. Пневмосистема сівалки Tempo V

Зм.	Арк.	№ докум.	Підп.	Дата

Виробник відмовився з'єднати вентилятор з ресивером за допомогою повітропроводів і розмістив його безпосередньо над центральною секцією ресивера. Бічні секції ресивера з'єднані з центральною за допомогою фланців та фіксуються болтовими з'єднаннями. Камери висівних апаратів з'єднуються з ресивером гнучкими повітропроводами. Крайні вихідні патрубки ресивера розташовані вздовж його осі, а інші радіально до неї.

Є кілька видів повітряних систем сівалок точного висіву.

За першої схеми повітряні камери висівних апаратів з'єднанні за допомогою повітропроводів безпосередньо з вентилятором.

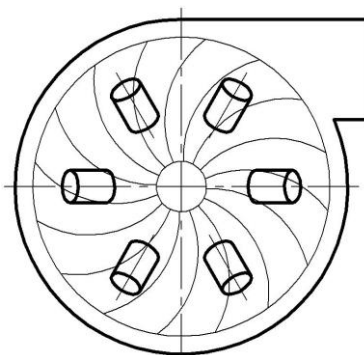


Рис. 2.20. Пряме підключення камер висівних апаратів до вентилятора

За другої схеми повітряні камери з'єднанні повітропроводами з ресивером, котрий в свою чергу з'єднується з вентилятором одним повітропроводом.

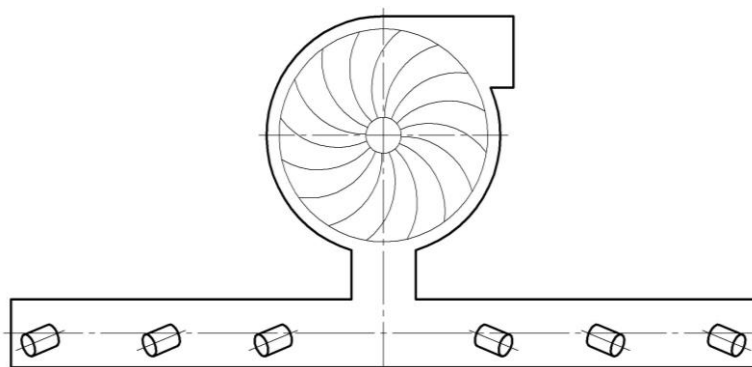


Рис. 2.21. Підключення вентилятора по центру ресивера

Зм.	Арк.	№ докум.	Підп.	Дата

За третьої схеми для сполучення ресивера з вентилятором використовуються два повітропроводи.

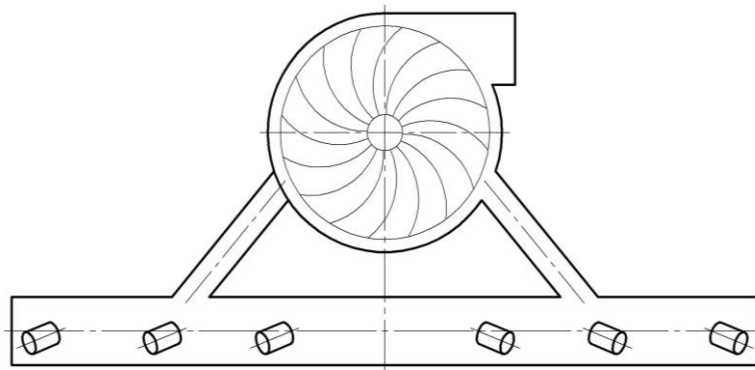


Рис. 2.21. Симетричне підключення вентилятора до ресивера

За четвертої схеми для сполучення ресивера з вентилятором використовуються три повітропроводи.

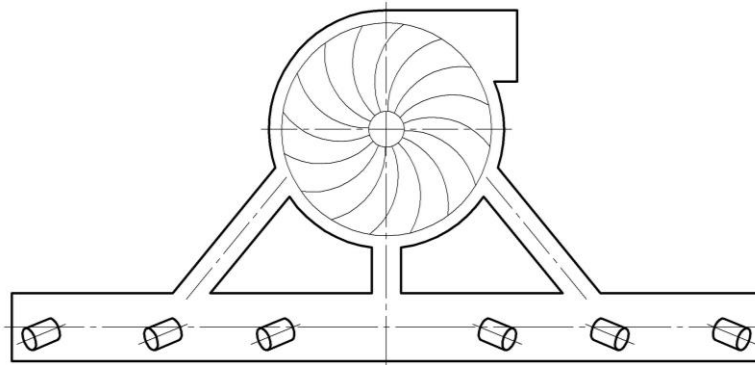


Рис. 2.22. Комбіноване підключення вентилятора до ресивера

За п'ятої схеми вентилятор розташовано безпосередньо в ресивері.

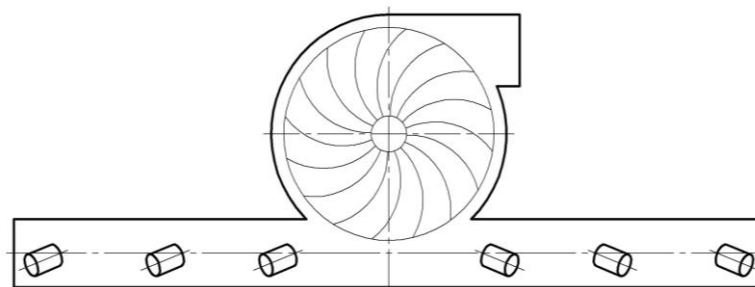


Рис. 2.23. Розміщення вентилятора в ресивері

Встановлено, що за першої схеми підключення висівних апаратів до вентилятора виникає нерівномірність величини тиску в насінневих

Зм.	Арк.	№ докум.	Підп.	Дата

$$\mu_i = \frac{1}{\sqrt{1 + \left(\zeta + \lambda \frac{l}{d} \right) \frac{f_{om\epsilon i}^2}{f^2} + \left[0,5 \left(1 - \frac{f_u}{f} \right)^{3/4} + \lambda_{uu} \frac{l_u}{d_{uu}} \right] \frac{f_{om\epsilon i}^2}{f_u^2} + 0,5 \left(1 - \frac{f_{om\epsilon i}}{f_u} \right)^{3/4}}}. \quad (2.12)$$

З врахуванням (2.5) та (2.12) Використовуючи в залежності (2.6) значення $V_{om\epsilon i}$ з, отримаємо

$$p_i = p_a - \frac{4F^2}{n^2 f_{om\epsilon i}^2} \times \left\{ 1 + \left(\zeta + \lambda \frac{l}{d} \right) \frac{f_{om\epsilon i}^2}{f^2} + \left[0,5 \left(1 - \frac{f_u}{f} \right)^{3/4} + \lambda_{uu} \frac{l_u}{d_{uu}} \right] \frac{f_{om\epsilon i}^2}{f_u^2} + 0,5 \left(1 - \frac{f_{om\epsilon i}}{f_u} \right)^{3/4} \right\} \frac{\rho V_{om\epsilon i}^2}{2}. \quad (2.13)$$

Аналогічний вираз можна записати і для іншого перетину, наприклад $i-1$

$$p_{-i} = p_a - \frac{4F^2}{n^2 f_{om\epsilon i-1}^2} \times \left\{ 1 + \left(\zeta + \lambda \frac{l}{d} \right) \frac{f_{om\epsilon i-1}^2}{f^2} + \left[0,5 \left(1 - \frac{f_u}{f} \right)^{3/4} + \lambda_{uu} \frac{l_u}{d_{uu}} \right] \frac{f_{om\epsilon i-1}^2}{f_u^2} + 0,5 \left(1 - \frac{f_{om\epsilon i-1}}{f_u} \right)^{3/4} \right\} \frac{\rho V_{om\epsilon i-1}^2}{2}. \quad (2.14)$$

За умови рівномірного відсмоктування повітря з висівних апаратів площі вхідних отворів повітророзподільника можна визначити після підстановки (2.13)–(2.14) у (2.4) та проведення перетворень

$$\left[1 + 0,5 \left(1 - \frac{f_{om\epsilon i}}{f_u} \right)^{3/4} \right] \frac{1}{f_{om\epsilon i}^2} - \left[1 + 0,5 \left(1 - \frac{f_{om\epsilon i-1}}{f_u} \right)^{3/4} \right] \frac{1}{f_{om\epsilon i-1}^2} - \quad (2.15)$$

$$- \frac{32}{\pi^2 D_9^4} \left[i^2 - (i-1)^2 + \frac{0,11 L_4 \sqrt{\frac{68}{\text{Re}_{\epsilon i-1}} + \frac{\delta}{D_9}}}{2(n-1)D_9} (i-1)^2 \right] = 0,$$

де $i=2, 3, 4, \dots, n/2$.

Використовуючи рівняння (2.15) можна одним з чисельних методів, задавши площу f_{ome1} , визначити площі решти вхідних отворів, приймаючи $i=2, 3, 4, \dots, n/2$.

Аналіз (2.15) дозволяє встановити, що зменшення на периферії повітророзподільника площі першого вхідного отвору f_{ome1} призводить до зменшення площ інших вхідних отворів f_{omei} і, навпаки, збільшення площі найближчого до центру вхідного отвору призводить до збільшення попередніх вхідних отворів. Слід також відмітити, що зменшення площі вхідного отвору f_{omei} зі зменшенням площі першого вхідного отвору f_{ome1} відбувається нерівномірно. Це пояснюється тим, що зменшення площі першого вхідного отвору f_{ome1} призводить до збільшення розрідження на периферії повітророзподільника, а це в свою чергу відбивається на підвищенні розрідження в найближчій до нього зоні.

3. ІНЖЕНЕРНА ЧАСТИНА

3.1. Технологічні розрахунки

3.1.1. Визначення витрат тиску в пневмосистемі

При русі повітря по повітряпроводах тиск витрачається на подолання тертя $P_{тр}$ та подолання місцевих опорів $P_{мс}$.

$$P_{\xi} = P_{тр} + P_{мс}. \quad (3.1)$$

Витрати тиску на тертя в круглих трубопроводах визначається формулами:

$$P_{тр} = \lambda \cdot \frac{1}{D} \cdot \frac{\gamma \cdot g^2}{2 \cdot g} \quad (3.2)$$

де l – довжина трубопровода;

D – діаметр трубопровода (найменший 0,032 м);

λ – коефіцієнт опору тертя;

λ – виражається в функції числа Рейнольда та визначається за формулою Нікурадзе:

$$\lambda = 0,032 + 0,221 \cdot Re^{-0,237} \quad (3.3)$$

де Re – Рейнольда, дорівнює:

$$Re = \frac{D \cdot g}{\nu},$$

де ν – коефіцієнт кінематичної в'язкості при барометричному тиску $P_0 = 760$ мм вод. ст. і температурі 20°:

$$\nu = 0,149 \cdot 10^{-4} \text{ MR/c};$$

g – швидкість повітряного потоку в трубопроводі:

$$g = 4,04 \cdot \sqrt{h_g}; \quad (3.4)$$

з попередніх розрахунків $g = 12$ м/с.

Зм.	Арк.	№ докум.	Підп.	Дата

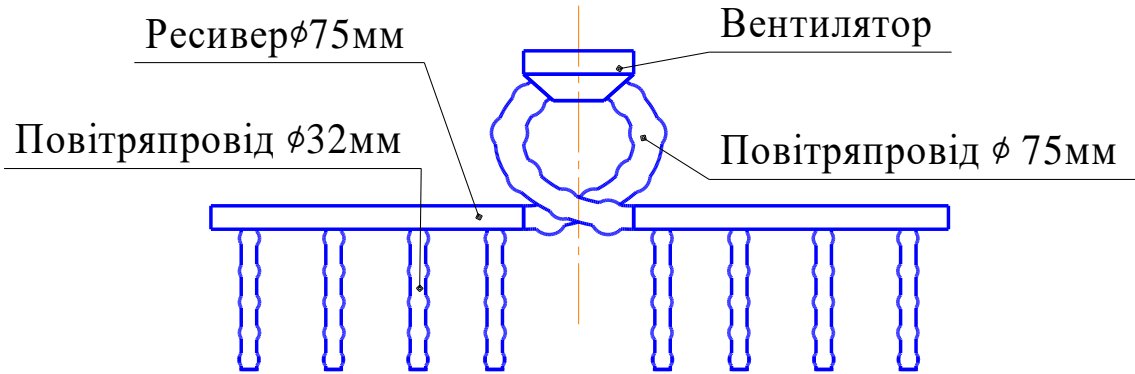


Рис. 3.1. Схема розводки повітропроводів по сівалці

– для діаметрів 75 мм:

$$Re = \frac{0,075 \cdot 12,0}{0,149 \cdot 10^{-4}} = 6,04 \cdot 10^{-4};$$

– для діаметрів 32 мм:

$$Re = \frac{0,032 \cdot 12,0}{0,149 \cdot 10^{-4}} = 2,58 \cdot 10^{-4}.$$

Витрати тиску на тертя в пневмосистемі станорвлять:

– для ресивера:

$$\lambda = 0,032 + 0,221 \cdot (6,04 \cdot 10^4)^{-0,273} = 0,0482;$$

$$P_{тр1} = 0,0482 \cdot \frac{2,0}{0,075} \cdot 2 \cdot \frac{1,24 \cdot 12^2}{2 \cdot 9,8} = 23,42 \text{ кг/м}^2;$$

– для пневмопроводів діаметром 75 мм:

$$P_{тр2} = 0,0482 \cdot \frac{0,9}{0,075} \cdot 2 \cdot \frac{1,24 \cdot 12^2}{2 \cdot 9,8} = 10,5 \text{ кг/м}^2;$$

– для пневмопроводів діаметром 32 мм:

$$\lambda = 0,032 + 0,221 \cdot (2,58 \cdot 10^4)^{-0,273} = 0,052;$$

$$P_{тр3} = 0,052 \cdot \frac{0,7}{0,032} \cdot 6 \cdot \frac{1,24 \cdot 12^2}{2 \cdot 9,8} = 62,17 \text{ кг/м}^2.$$

У сумі витрати тиску на тертя у повітряпроводах:

$$P_{тр} = 23,42 + 10,5 + 62,17 = 96,09 \text{ кг/м}^2 = 960,9 \text{ Па} \approx 0,96 \text{ кПа}.$$

Витрати тиску на подолання місцевих опорів визначаються в функції динамічного тиску по формулі:

Зм.	Арк.	№ докум.	Підп.	Дата

$$P_{m.o} = \xi \cdot \frac{\gamma \cdot g^2}{2 \cdot g} \quad (3.5)$$

де ξ – коефіцієнт місцевого опору.

Найбільш поширеним слід рахувати місцевий опір, який виникає при розширенні або звуженні повітропроводу, а також його згині.

Раптове розширення повітропроводу при переході від камер висіваючи апаратів до ресивера.

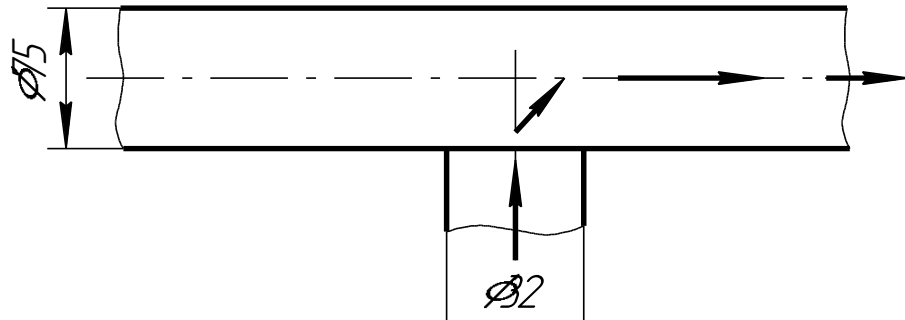


Рис. 3.2. Схема переходу повітряного потоку

Коефіцієнт місцевого опору:

$$\xi_{p1} = \left(1 + \frac{f}{F}\right)^2,$$

де f – площа перетину повітропрохода:

$$f = \frac{\pi \cdot d^2}{4} = \frac{3,14 \cdot 0,032^2}{4} = 0,0008 \text{ м}^2;$$

F – площа перетину ресивера:

$$F = \frac{\pi \cdot D^2}{4} = \frac{3,14 \cdot 0,075^2}{4} = 0,0044 \text{ м}^2;$$

$$\xi_{p1} = \left(1 + \frac{0,0008f}{0,0044}\right)^2 = 1,39;$$

$$P_{m.o1} = 1,39 \cdot 1,39 \cdot \frac{1,24 \cdot 12^2}{2 \cdot 9,8} \cdot 6 = 76,8 \text{ кг/м}^2.$$

Згин повітропроводу:

$$\xi_k = K_k \cdot \xi_1 \cdot \xi_2 \cdot \xi_3 \quad (3.6)$$

де $K_k = 0,73$ – постійний коефіцієнт пропорційності;

ξ_1 – коефіцієнт, який залежить від радіуса заокруглення (R/D);

Зм.	Арк.	№ докум.	Підп.	Дата

ξ_2 – коефіцієнт, який залежить від кута поворота колі-
на (α);

ξ_3 – коефіцієнт, який залежить від форми перетину.

Для круглого перетину $\xi_3=1,0$.

По таблиці 13 [4] приймаємо:

– для $R/D=5$; $\xi_1=0,12$;

– для $\alpha=40^\circ$; $\xi_2=0,6$.

$$\xi_k=0,73 \cdot 0,12 \cdot 0,6 \cdot 1,0=0,053;$$

$$P_{m.o_2}=0,053 \cdot \frac{1,24 \cdot 12^2}{2 \cdot 9,8} \cdot 2 = 0,98 \text{ кг/м}^2.$$

$$P_{m.o} = P_{m.o_1} + P_{m.o_2} = 76,8 + 0,98 = 77,76 \text{ кг/м}^2 = 6 \text{ Па} = 0,78 \text{ кПа}.$$

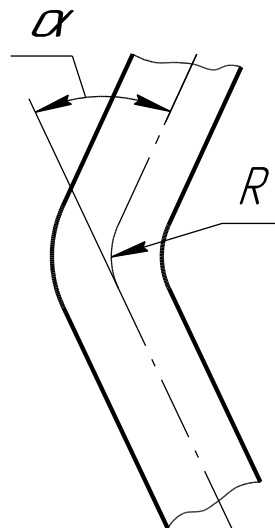


Рис. 3.3. Схема заокруглення

Закінчені втрати тиску в пневмосистемі сівалки:

$$P_\xi = 0,96 + 0,78 = 1,74 \text{ кПа}.$$

Повного розрядження, яке повинен створити вентилятор для якісної роботи пневматичних висіваючи апаратів для висіву насіння кукурудзи, повинен складати:

$$\sum P = P_a + P_\xi = 3670 \text{ Па} + 1740 \text{ Па} = 5410 \text{ Па} = 5,41 \text{ кПа}.$$

де η - ККД пневмосистеми.

$$H_T = \frac{2032}{0,7} = 2258 \text{ кг/м}^2.$$

Коли вважати, що повітря всмоктується в радіальному напрямку, то секундний об'єм повітря:

$$Q = 2 \cdot \pi \cdot r_1 \cdot b \cdot \vartheta \cdot \cos \alpha, \quad (3.10)$$

де r_1 – радіус камери на вході, визначений з умови, що 8 всмоктуючих отворів з камер висіваючи апаратів повинні мати таку ж площину, що і площа вхідного отвору вентилятора, тобто:

$$\frac{8 \cdot \pi \cdot d}{4} = \frac{\pi \cdot D_0^2}{4},$$

звідки:

$$D_0 = \sqrt{8 \cdot d^2} = \sqrt{8 \cdot 32^2} = 90,5 \text{ мм}$$

Конструктивно приймаємо $D_0 = 110$ мм, тоді $r_1 = 55$ мм.

b – ширина камери вентилятора, приймаємо по базовому варіанту $b = 60$ мм;

α – кут між дотичними до поверхні лопатки на вході та напрямком повітря. Конструкція базового ротора вентилятора має $\alpha = 15^\circ$, тоді:

$$Q = 2 \cdot 3,14 \cdot 0,055 \cdot 0,06 \cdot 14,4 \cdot \cos 15^\circ = 0,275 \text{ м}^3/\text{с}.$$

Зовнішній діаметр колеса визначаємо з рівняння:

$$D_2 = \frac{2}{n} \sqrt{\frac{H_T}{C_H \cdot \rho}}. \quad (3.11)$$

Для розрахунків приймаємо базовий вентилятор з $n = 4100$ об/хв. Ротора або 67 об/с.

C_H – коефіцієнт, який для радіальних лопаток $C_H = 0,27$

$$D_2 = \frac{2}{67} \sqrt{\frac{2258}{0,27 \cdot 1,225}} = 419 \text{ мм}.$$

Приймаємо $D_2 = 450$ мм з урахуванням втрат.

Потрібна для привода вентилятора потужність:

Зм.	Арк.	№ докум.	Підп.	Дата

$$N = \frac{Q \cdot H_T}{75 \cdot \eta}, \quad (3.12)$$

$$N = \frac{0,275 \cdot 2258}{75 \cdot 0,8} = 2,66 \text{ кВт.}$$

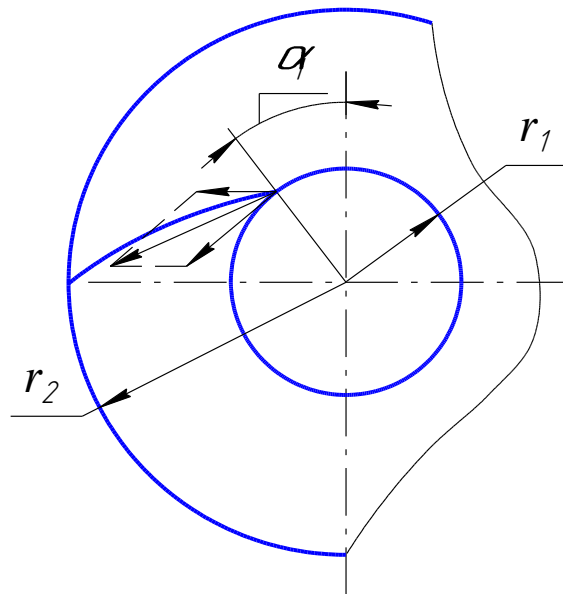


Рис. 3.4. Схема ротора вентилятора

Приймаємо для привода вентилятора карданну передачу від валу відбору потужності трактора, яка забезпечує необхідну потужність при кількості обертів ВВП $n=1000 \text{ хв}^{-1}$.

3.2. Розрахунок на міцність

3.2.1 Розрахунок на міцність зубчастої пасової передачі приводу вентилятора

Основними геометричними характеристиками зубчастого пасу являються модуль m , число зубів пасу z_p і його довжина L .

Модуль пасу визначається за формулою:

$$m = 35 \sqrt[3]{\frac{P}{n_1}}, \quad (3.13)$$

де P – потужність що передається на вхідний вал приводу вентилятора,

Зм.	Арк.	№ докум.	Підп.	Дата

$$P_{np} = \frac{P}{\eta_{nn} \cdot \eta_n},$$

де η_{nn} та η_n – відповідно ККД пасової передачі та пари підшипників кочення, $\eta_{nn}=0,96$, $\eta_n=0,99$

$$P_{np} = \frac{1,19}{0,96 \cdot 0,99} = 1,24 \text{ кВт};$$

n – частота обертання, $n=540$ об/хв

$$m = 35 \sqrt[3]{\frac{1,24}{540}} = 3,13 \text{ мм.}$$

Приймаємо $m=3$ мм.

Число зубів меншого шківів z_2 обираємо в залежності від модуля і частоти обертання $z_2=14$.

Число зубів великого шківів:

$$z_1 = z_2 \cdot \frac{n_2}{n_{np}} \quad (4.12)$$

$$z_1 = 14 \frac{4600}{540} = 119,26.$$

Приймаємо $z_1=125$.

Міжосьова відстань визначається попередньо рівною:

$$a' = (0,5 \dots 2,0)(d_{p1} + d_{p2}), \quad (3.14)$$

де d_{p1} і d_{p2} - ділильні діаметри шківів

$$d_{p1} = mz_1 = 3 \cdot 125 = 375 \text{ мм};$$

$$d_{p2} = mz_2 = 3 \cdot 14 = 42 \text{ мм};$$

$$a' = (0,5 \dots 2,0)(375 + 42) = 450 \text{ мм.}$$

Попереднє значення довжини ремня L' підраховуємо за формулою:

$$L' = \frac{2a + \pi(d_{p1} + d_{p2})}{2} + \frac{(d_{p1} - d_{p2})^2}{4a'}; \quad (3.15)$$

$$L' = \frac{2 \cdot 450 + 3,14(375 + 42)}{2} + \frac{(375 - 42)^2}{4 \cdot 450} = 1166,3 \text{ мм.}$$

По величині L' знаходимо орієнтовне значення число зубів ременя:

$$z_p' = \frac{L'}{\pi \cdot m}, \quad (3.16)$$

$$z_p' = \frac{1166,3}{(3,14 \cdot 3)} = 124,63.$$

Приймаємо $z_p = 125$ зубів.

Кінцева довжина ременя визначається по формулі:

$$L = m z_p \pi = 3 \cdot 125 \cdot 3,14 = 1177,5 \text{ мм.}$$

Кінцеве значення міжосьової відстані визначаємо за формулою:

$$a = 0,25 \left[L - \Delta_1 + \sqrt{(L - \Delta_1)^2 - 8\Delta_2} \right], \quad (3.17)$$

де $\Delta_1 = 0,5\pi(d_{p1} + d_{p2}) = 0,5 \cdot 3,14(375 + 42) = 646,4 \text{ мм};$

$$\Delta_2 = 0,25(d_{p1} - d_{p2})^2 = 0,25 \cdot (375 - 42)^2 = 2772,22 \text{ мм};$$

$$a = 0,25 \left[1166,3 - 646,4 + \sqrt{(1318 - 376,88)^2 - 8 \cdot 2772,22} \right] = 255 \text{ мм.}$$

Визначаємо число зубів ременя, які знаходяться в зачепленні з малим шківом:

$$z_{p0} = \frac{z_1 \cdot \alpha_1}{360^\circ}, \quad (3.18)$$

де $\alpha_1 = 180 - 57(d_{p1} - d_{p2}) / a = 180 - 57(375 - 42) / 450 = 137,82^\circ;$

$$z_{p0} = \frac{14 \cdot 137,82}{360} = 5,36.$$

Ширину ременя вибираємо в залежності від модуля

$$b = \frac{F_t \cdot C_p}{q_0 \cdot C_F}, \quad (3.19)$$

де C_F – коефіцієнт нерівномірності розподілу навантаження по ширині несучого шару, $C_F = 0,85$;

C_p – коефіцієнт динамічності та режиму роботи, $C_p = 1,2$;

q_0 – приведенне питоме колове зусилля, для $m=3$ мм $q_0=10$ Н/мм;

F_t – колове зусилля, що передається пасом

$$F_t = \frac{P \cdot 10^3}{v} = \frac{10^3 \cdot P \cdot 60}{\pi \cdot d_1 \cdot n} = \frac{1000 \cdot 1,24 \cdot 60}{3,14 \cdot 375 \cdot 540} = 117 \text{ Н};$$

$$b = \frac{117 \cdot 1,2}{10 \cdot 0,85} = 16,52 \text{ мм.}$$

Приймаємо згідно стандарту $b=20$ мм.

Навантаження на вал та опори:

$$R = (1 \dots 1,2) F_t = 1,2 \cdot 117 = 140,4 \text{ Н.}$$

Геометричні параметри великого шківa:

$$d = 125 \cdot 3 = 375 \text{ мм};$$

$$d_a = 375 - 2 \cdot 0,6 + \frac{0,15 \cdot 117 \cdot 0,0025 \cdot 125}{20} = 374,07 \text{ мм};$$

$$d_f = 374 - 3 \cdot 1,8 = 368,6 \text{ мм};$$

$$B = 20 + 3 = 23 \text{ мм.}$$

Проведемо розрахунок довговічності передачі.

Визначаємо розрахунковий ресурс за формулою:

$$L_{hp} = L_{hcep} K_1 K_2, \quad (3.20)$$

де L_{hcep} – середній ресурс експлуатації пасу для середнього режиму роботи, $L_{hcep}=2000$ год;

K_1 – коефіцієнт режиму роботи, $K_1=0,5$;

K_2 – коефіцієнт, що враховує кліматичні умови експлуатації, $K_2=1,0$

$$L_{hp} = 2000 \cdot 0,5 \cdot 1 = 1000 \text{ год.}$$

Річне завантаження сівалки складає 100 год, а термін її експлуатації 8 років. Таким чином довговічність паса забезпечена.

Зм.	Арк.	№ докум.	Підп.	Дата

$$S_{\phi} = A_{\phi} \cdot N. \quad (4.3)$$

$$S_{\phi} = 0,1^2 \cdot 4 = 0,04 \text{ м}^2.$$

Частота коливань машини

$$f = \frac{n}{60} = \frac{2500}{60} = 41,7 \text{ Гц.} \quad (4.4)$$

Частота коливань системи машина–віброізолятор:

$$f_o = 0,5 \sqrt{\frac{E \cdot S_{\phi}}{h \cdot Q \cdot q}}, \quad (4.5)$$

де h – висота віброізолятора, м

$$h = \frac{A_{\phi}}{4}, \quad (4.6)$$

$$h = \frac{0,1}{4} = 0,025 \text{ м;}$$

$$f_o = 0,5 \sqrt{\frac{8,95 \cdot 10^4 \cdot 0,04}{0,025 \cdot 165 \cdot 9,81}} = 8,85 \text{ Гц}$$

Коефіцієнт відношення частот

$$\psi = \frac{f}{f_o}, \quad (4.7)$$

$$\psi = \frac{41,7}{8,85} = 4,7.$$

Гранична частота вібрації:

$$f_{zp} = f_o \sqrt{2}. \quad (4.8)$$

$$f_{zp} = 8,85 \sqrt{2} = 12,5 \text{ Гц.}$$

Рівень вібрації на граничній частоті

$$\Delta l_1 = 40 \cdot \lg \frac{2 \cdot f_{zp}}{f_o}; \quad (4.9)$$

$$\Delta l_1 = 40 \cdot \lg \frac{2 \cdot 12,5}{8,85} = 18,1 \text{ дБ.}$$

5. ЕКОНОМІЧНА ЧАСТИНА

Під час проведення літературного аналізу було встановлено, що вирівнювання тиску в камерах висівних апаратів дозволяє зекономити насіннєвий матеріал в межах 2–6% за рахунок забезпечення точності дотримання заданого інтервалу розміщення насіння здовж рядка..

Враховуючи вартість насіння соняшнику для посіву 6480 грн за 1 посівну одиницю [27] для поля 100 га мінімальна економія становитиме 103,68 грн на 1 га, а у перерахунку на площу поля це становитиме мінімум 10368 грн.

					<i>УСГ 00.000 ПЗ</i>	Арк.
Зм.	Арк.	№ докум.	Підп.	Дата		36

ВИСНОВКИ

В кваліфікаційній роботі проведено аналіз конструкцій пневматичних систем універсальних сівалок точного висіву.

Встановлено залежність впливу їхніх конструкцій на якість роботи.

На підставі проведеного аналізу обґрунтована мета, сформульовані задачі досліджень, встановлені об'єкт та предмет досліджень.

В результаті проведених теоретичних досліджень було встановлено вплив вихідних та вихідних отворів повітророзподільника на значення тиску повітря.

Запропоновані зміни в конструкції посівної секції універсальної сівалки точного висіву дозволяють одержати економію посівного матеріалу в межах 2–4% за рахунок забезпечення якості роботи висівних апаратів, що становитиме мінімум 103,68 грн/га.

					<i>УСГ 00.000 ПЗ</i>	Арк.
Зм.	Арк.	№ докум.	Підп.	Дата		37

26. Войналович О. Охорона праці у сільському господарстві. Навчальний посібник / Войналович О., Білько Т., Марчиниша Є. – К.: Центр навчальної літератури, 2019. – 691 с.

27. Насіння соняшника [Електронний ресурс]. – Режим доступу: <https://tda-shop.com.ua/ua/g39174217-semena-podsolnechnika?csbss0=238746803> (дата звернення: 10.04.2024). – Назва з екрана.

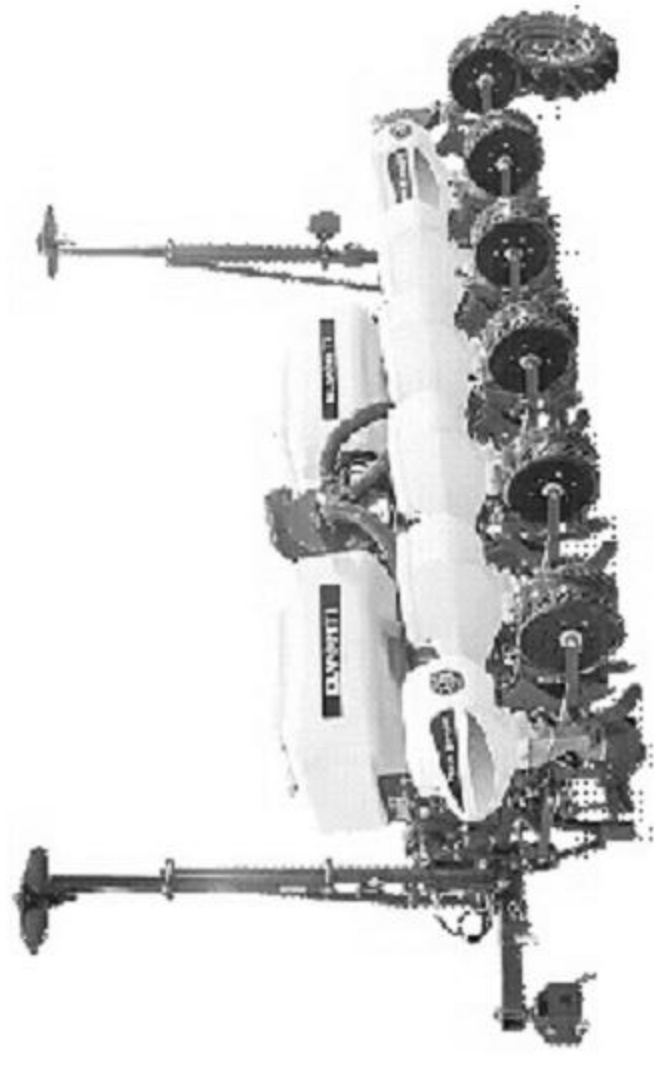
					<i>УСГ 00.000 ПЗ</i>	Арк.
Зм.	Арк.	№ докум.	Підп.	Дата		41

ДОДАТКИ

СУЧАСНИЙ СТАН МАШИИ



VESTA 81
Ельборті



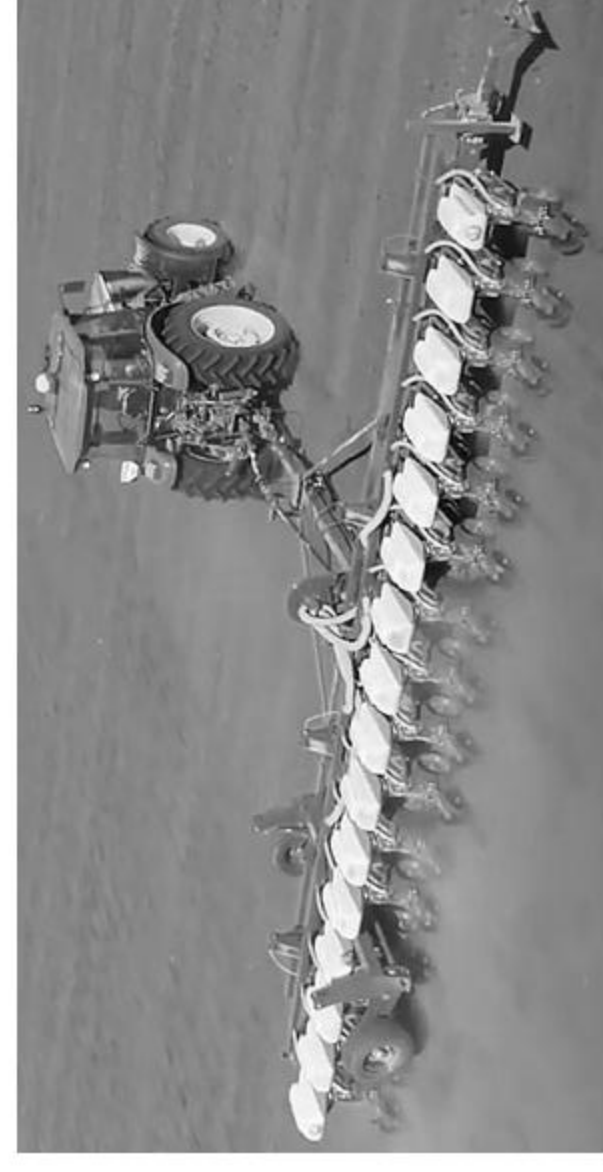
VESTA 6 PROFİ
Ельборті



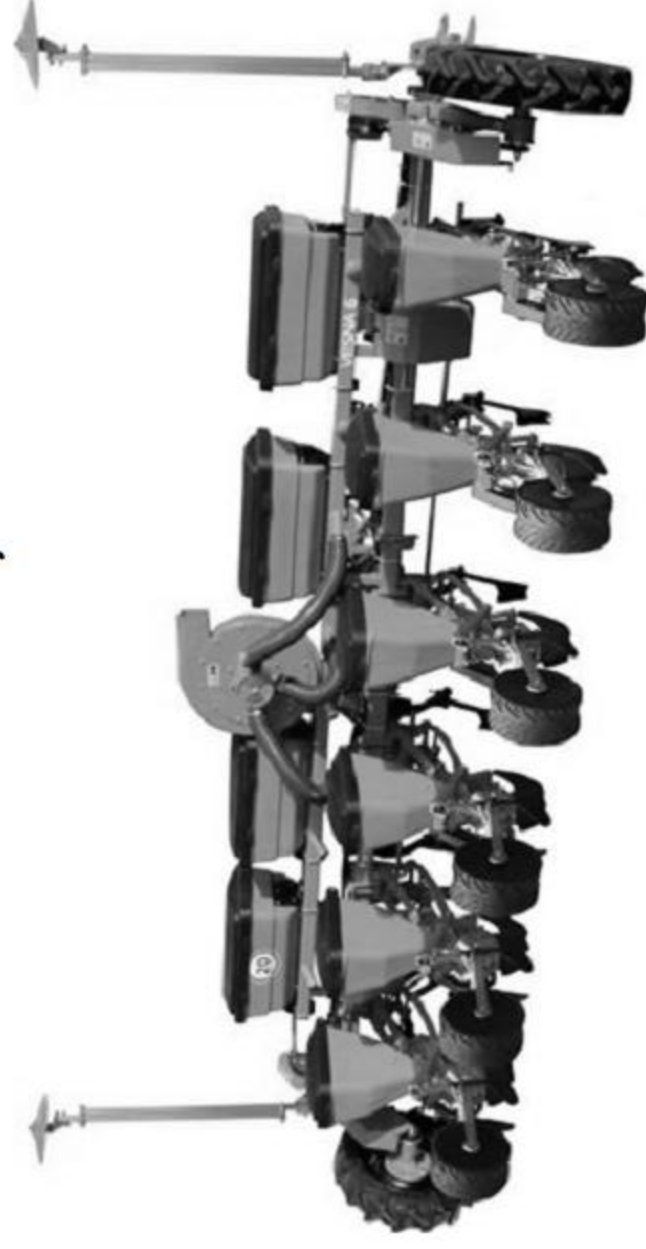
VESTA 6
Ельборті



VESTA 8
Ельборті



VESTA 16 PROFİ
Ельборті



Веста-6
Фаворит



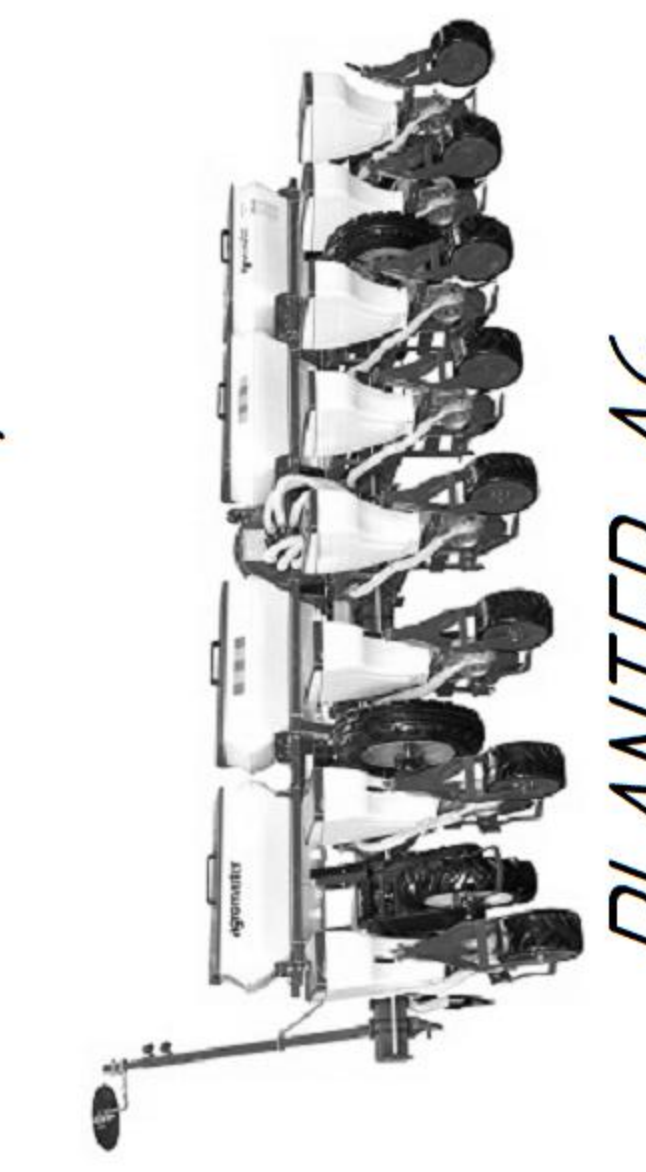
Веста-8
Фаворит



Веста-12
Фаворит



СТБТ-12
Тодак



PLANTER-A6
Агротастер



HERMES 8
Harvest



SPACE 560i
Harvest



MUL TICORN 560 (01)
Harvest



HERMES 6
Harvest



SIGMA KING
SFOGGIA

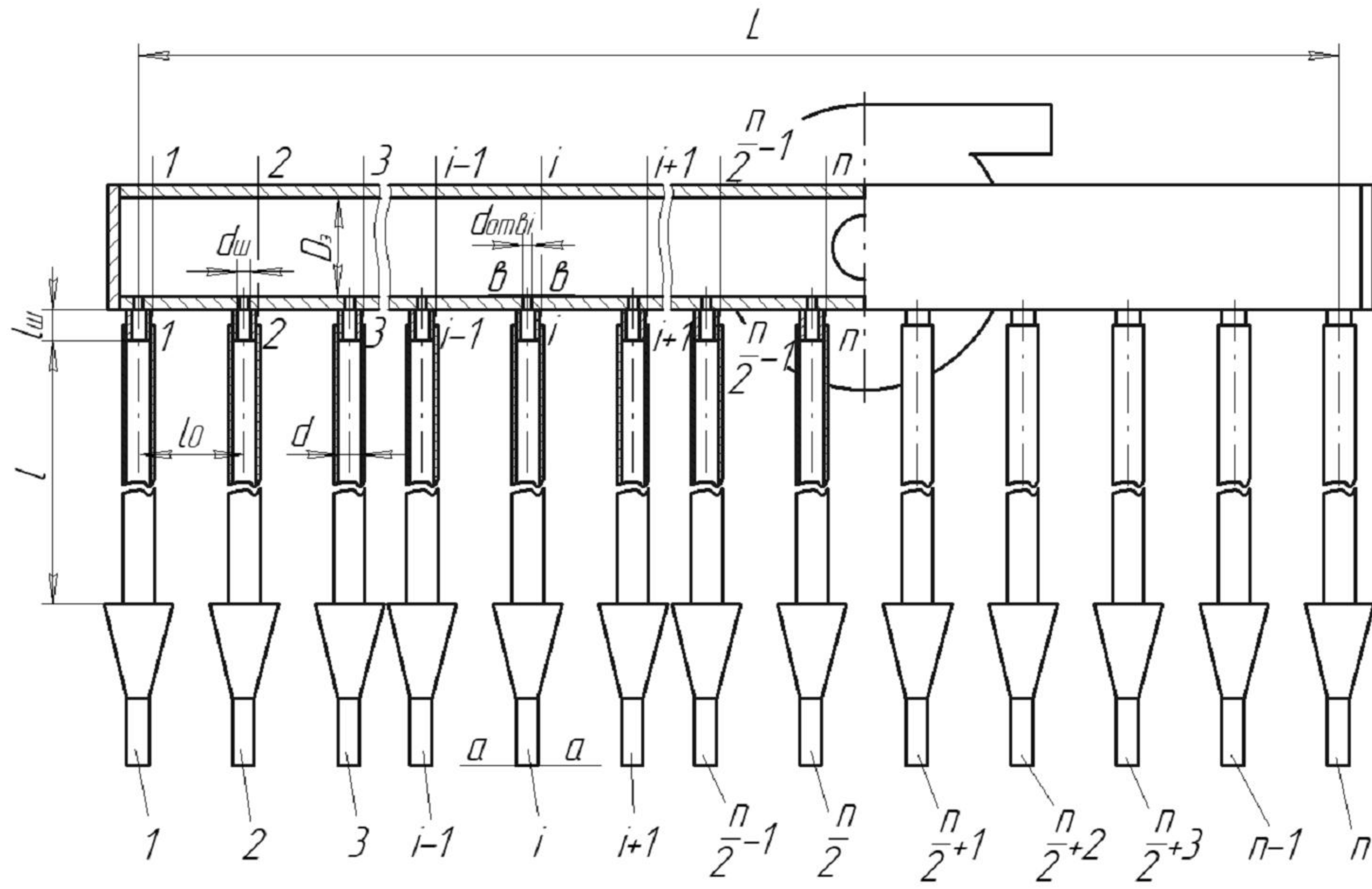


Tempo V 12
Vaderstad

УСТ 00.001 НЧ									
Лист	Листа	Листів	Листів	Листів	Листів	Листів	Листів	Листів	Листів
СУЧАСНИЙ СТАН									
МАШИИ									
УНТУ									
ЗВ. ПМ-22М19-12									
АТ									

ТЕОРЕТИЧНІ ДОСЛІДЖЕННЯ системи з ресивером

УСГ 00.003 НЧ



$$p_{i-1}F - p_iF - \tau_{i-1}\Pi l_0 = \rho F V_{ei}^2 - \rho F V_{ei-1}^2, \quad (1)$$

де p – статичний тиск в перетинах ресивера, Па;

F – площа прохідного перетину ресивера, m^2 ;

Π – периметр ресивера, м;

l_0 – відстань між осями вхідних отворів, м;

ρ – щільність повітря, kg/m^3 ;

V_e – швидкість повітря в перетинах ресивера, м/с;

$$\tau_{i-1} = \frac{\lambda_{ei-1}}{4} \cdot \frac{\rho V_{ei-1}^2}{2} - \text{дотичні напруження в перетинах ресивера, Н/м}^2,$$

тут λ_{ei-1} – коефіцієнт гідравлічного опору в перетинах ресивера.

Умова рівномірного відбору повітря

$$V_{ei} = \frac{V_{en/2}}{n/2} i; \quad V_{ei-1} = \frac{V_{en/2}}{n/2} (i-1), \quad f_{omei} = \frac{Q_{n/2}}{V_{omei} n/2} = \frac{F V_{en/2}}{V_{omei} n/2} \quad (2)$$

де n – рядність сівалки;

f_{omei} – площі вхідних отворів ресивера, m^2 ;

Q – витрати повітря в перетинах ресивера, m^3/s ;

V_{omei} – швидкість повітря у вхідних отворах ресивера, м/с.

$$\left[1 + 0,5 \left(1 - \frac{f_{omei}}{f_{ui}} \right)^{3/4} \right] \frac{1}{f_{omei}^2} - \left[1 + 0,5 \left(1 - \frac{f_{omei-1}}{f_{ui}} \right)^{3/4} \right] \frac{1}{f_{omei-1}^2} - \frac{32}{\pi^2 D_3^4} \left[i^2 - (i-1)^2 + \frac{0,11 L^4 \sqrt{\frac{68}{Re_{ei-1}} + \frac{\delta}{D_3}}}{2(n-1)D_3} (i-1)^2 \right] = 0, \quad (3)$$

де f_{ui} – площа перетину штуцерів, m^2 ;

L – довжина ресивера, м;

D_3 – прохідний діаметр ресивера, м;

δ – величина абсолютної шорсткості порожнини ресивера, м;

$i = 2, 3, 4, \dots, n/2$;

$$Re_{ei-1} = \frac{\sum_{j=1}^i Q_{eaj} D_3}{\nu F} - \text{число Рейнольдса в перетинах ресивера,}$$

тут ν – кінематична в'язкість повітря, m^2/s .

$$f_{ome1/2+1} = f_{ome1/2}, \quad f_{ome1/2+2} = f_{ome1/2-1}, \quad f_{ome1/2+3} = f_{ome1/2-2}, \quad \dots, \quad f_{ome1-1} = f_{ome2}, \quad f_{ome1} = f_{ome1}. \quad (4)$$

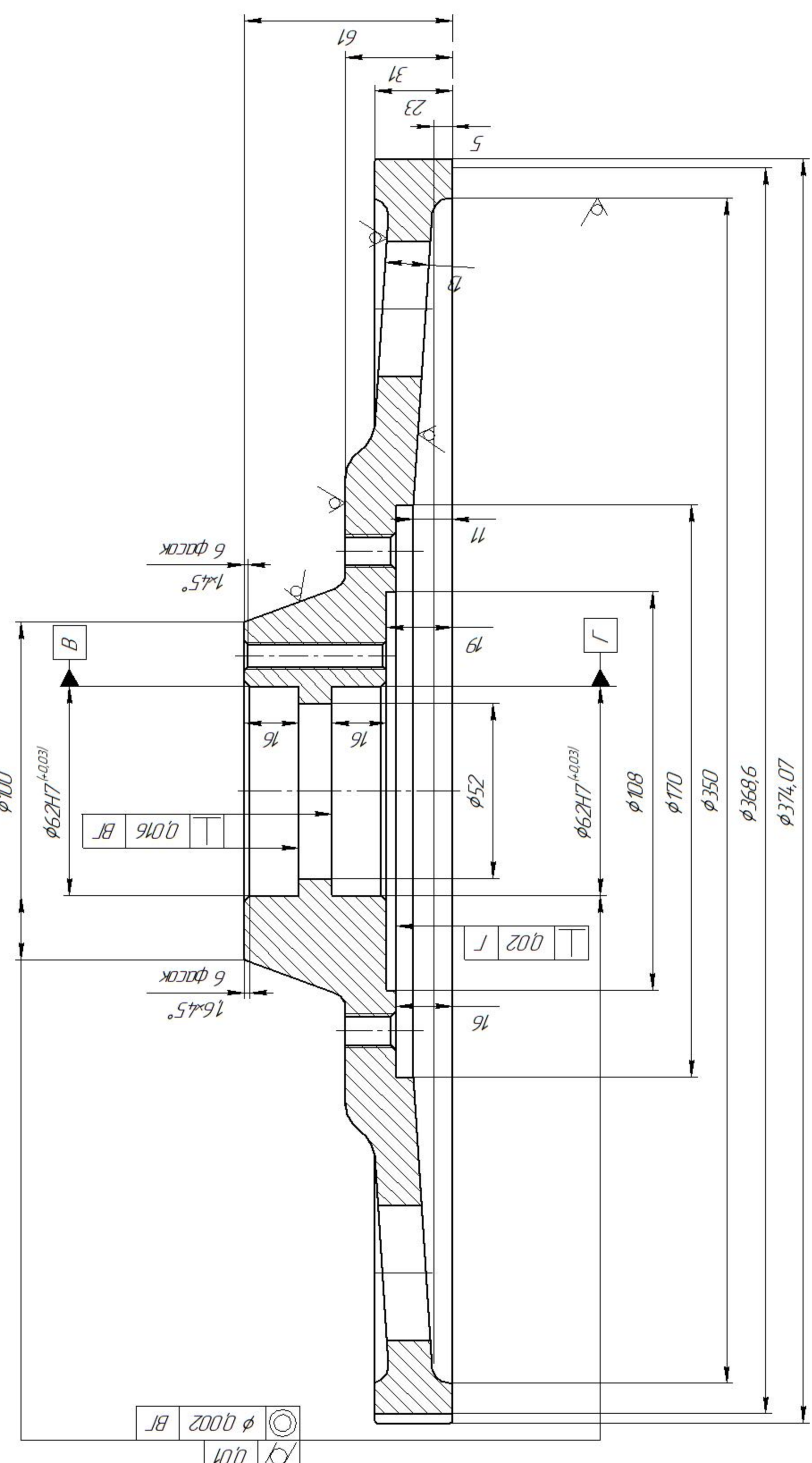
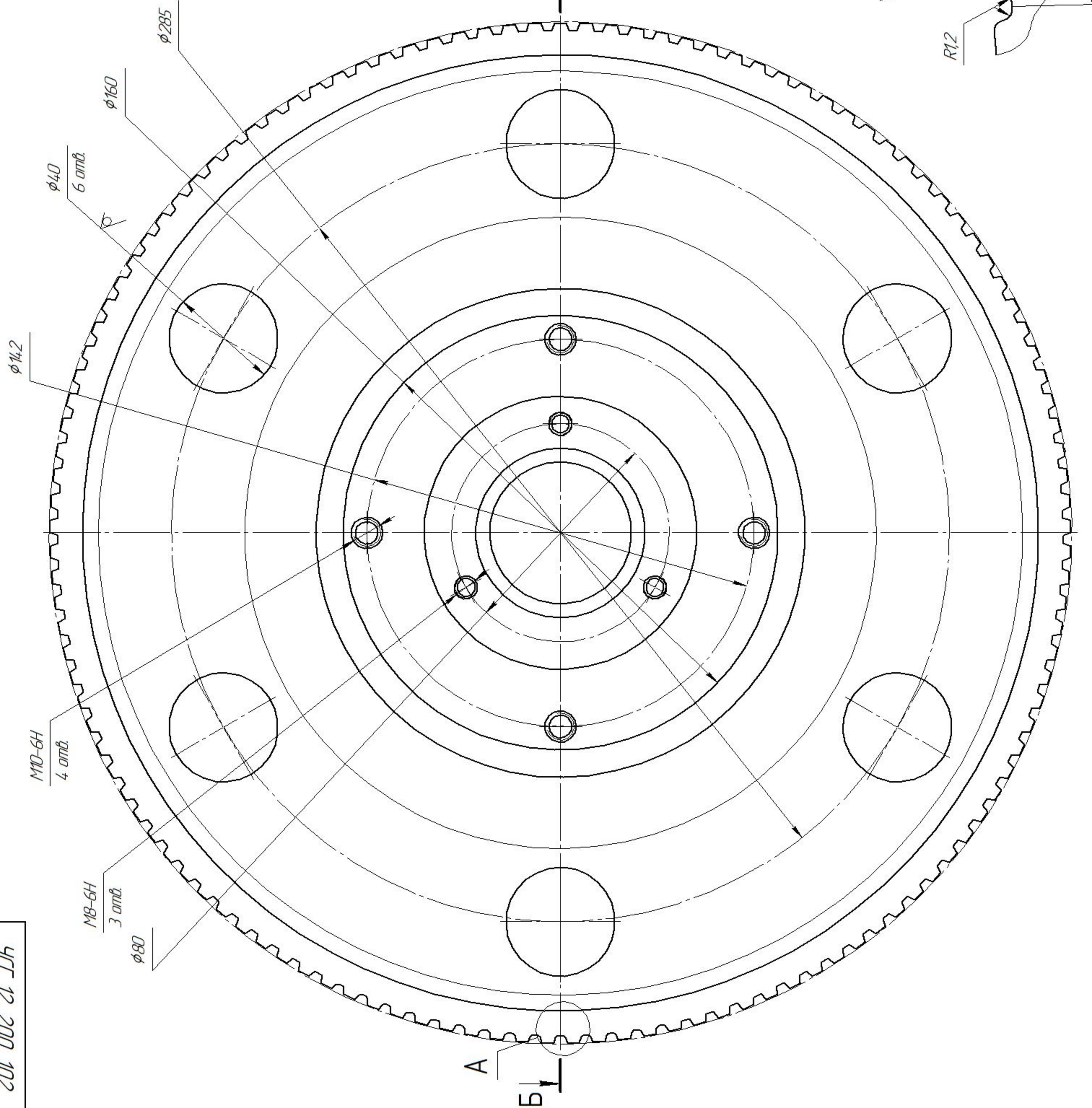
УСГ 00.003 НЧ				Лист	Масштаб
Теоретичні дослідження системи з ресивером				Маса	Масштаб
Изм.	Лист	№ док.	Підп.	Дата	
Розраб.	Салій				
Проб.	Онопа				
Т.контр.					
И.контр.	Мачок				
Зна.	Лещенко				
ЦНТУ				Лист	Листів 1
гр. ГМ-22М(19)-12					

Лист № 1/10
Лист № 2/10
Лист № 3/10
Лист № 4/10
Лист № 5/10
Лист № 6/10
Лист № 7/10
Лист № 8/10
Лист № 9/10
Лист № 10/10

√ Ra0,3 (√/)

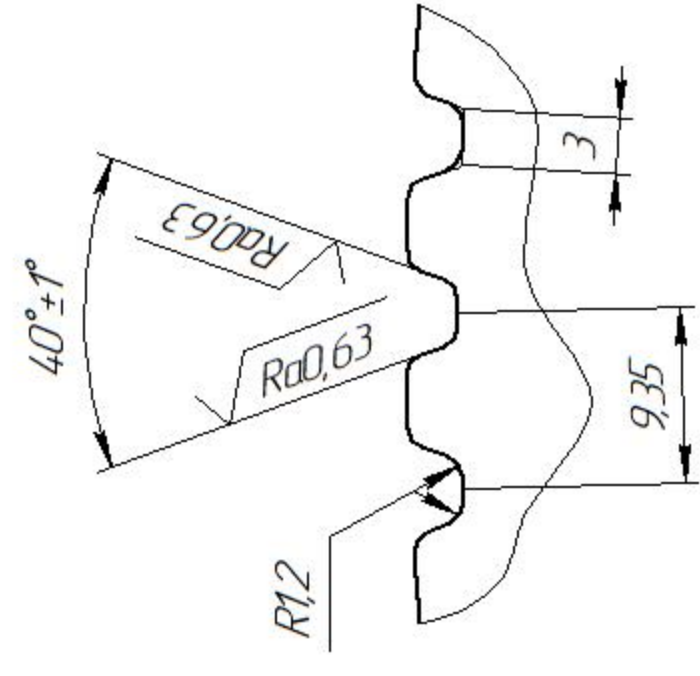
Б-Б

УСТ 12.200.102



1. Розміри для довідок.
2. Либарні ухили 3° .
3. Невказані граничні відхилення розмірів – по III класу точності ОСТ 234.209-82
4. Невказані допуски форми та розташування поверхонь згідно ГОСТ 25069-81.

A Ø

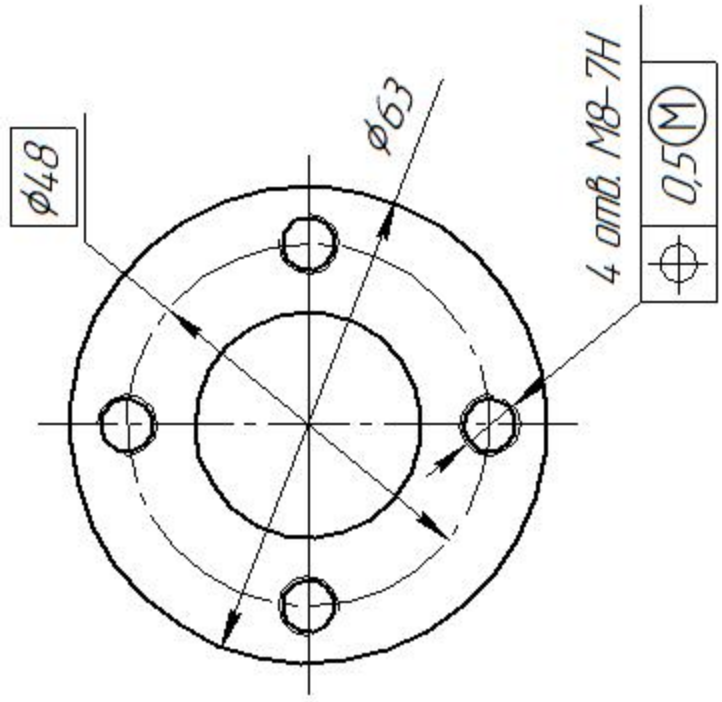
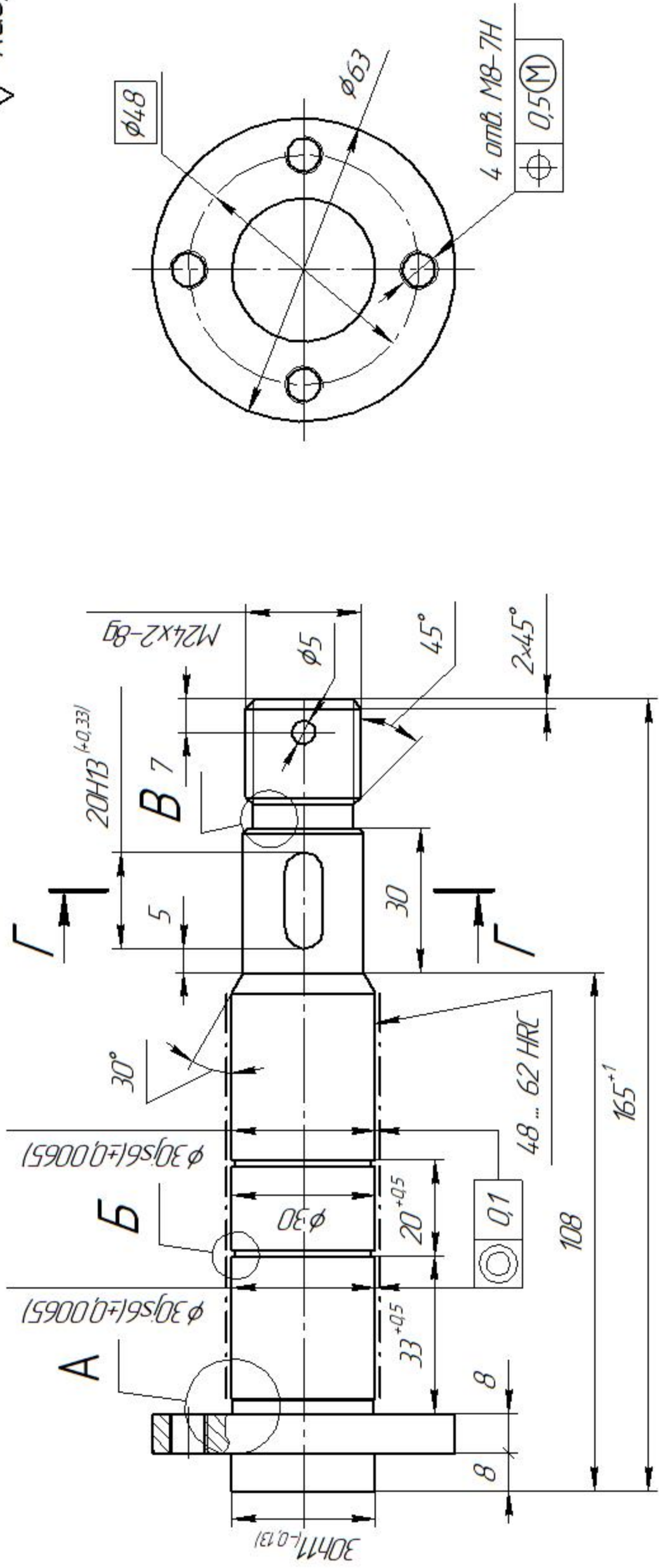


5. На робочих поверхнях канавок шківів не повинно бути парич пошкрядин та вм'ятин після обробитки різанням.

УСТ 12.200.102		Шків		Масштаб	
Лист	Маса	Лист	Маса	Лист	Маса
	5,679		1,1		
АК6 ГОСТ 4784-97			ЦНТУ		
зр. ГМ-22М19-12			Фабрикат АЗЗ		

СУПА 12. 200. 604

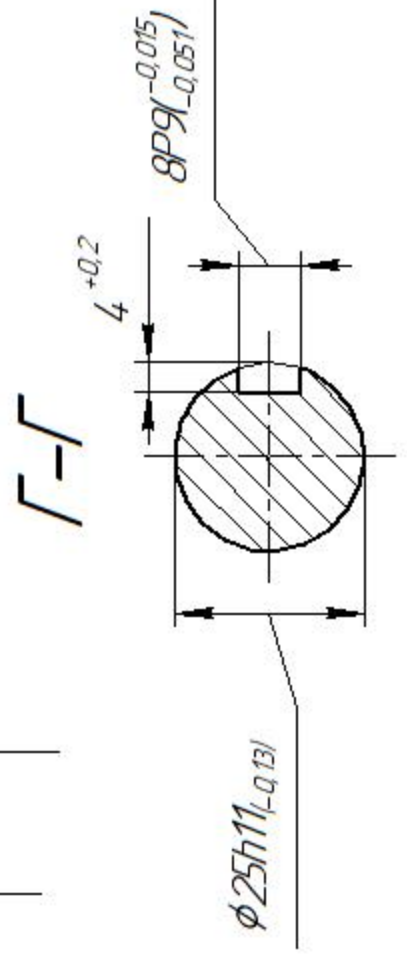
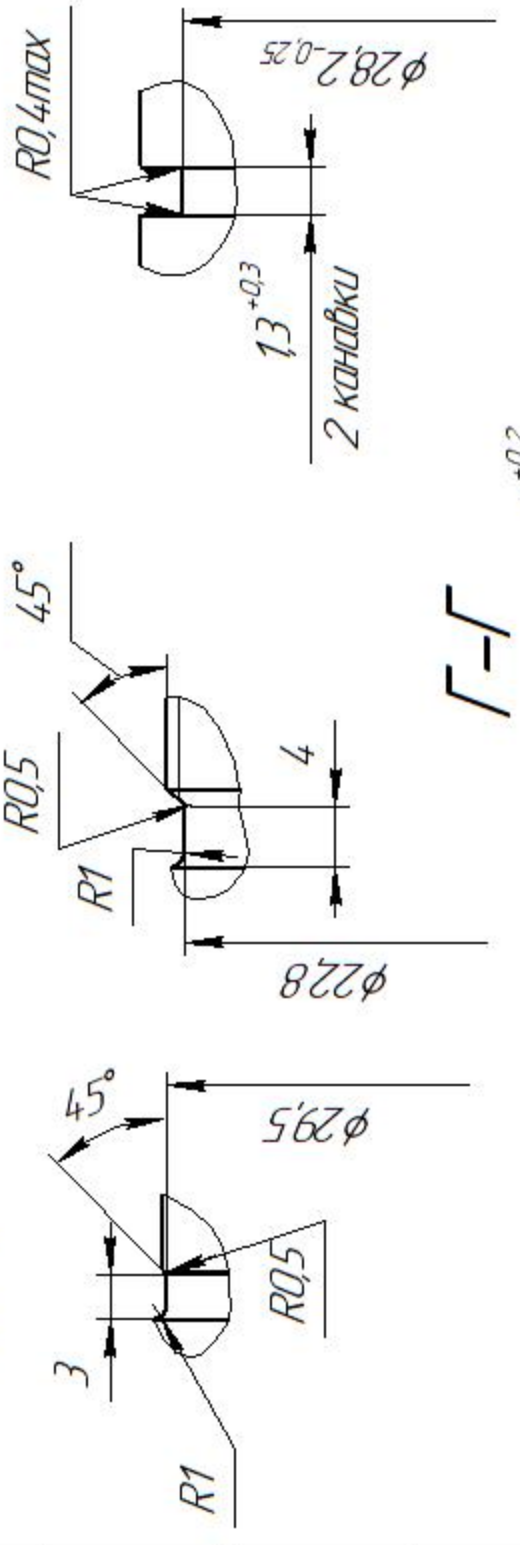
$\sqrt{Ra6,3 (\sqrt{1})}$



A(2:1)

B(4:1)

B(5:1)



- 1 Покриття Ц 15хр.
- 2 Невказані граничні відхилення розмірів – по ОСТ 23.4.209-82.
- 3 Граничні відхилення від вірної геометричної форми посадкових поверхонь під підшипники-по ОСТ 23.4.108-87.
- 4 H14, h14, ± $\frac{IT14}{2}$.
- 5 *Розмір для довідок.

Інд. № подл.	Підп. і дата	Вам. чнд. №	Інд. № дудл.	Підп. і дата
Спроб. №	Лист	Маса	Масштаб	
Лист	№ док.м.	Саліу	Очига	Т.контр.
Н.контр.	М.чак	Лещенко		
Утв.				

СУПА 12. 200. 604		Лист	Маса	Масштаб
Вал			0,185	2:1
Сталь 20Х ГОСТ 4543-71		Лист	1	Листов
		ЦНТУ		
		зр. ГМ-22М19-12		